

Нелинейная динамика и хаос в процессах излучения заряженных частиц, движущихся в неоднородных пространственно- периодических структурах

Светлана Сытова

Институт ядерных проблем
Белгосуниверситета

sytova@inp.bsu.by

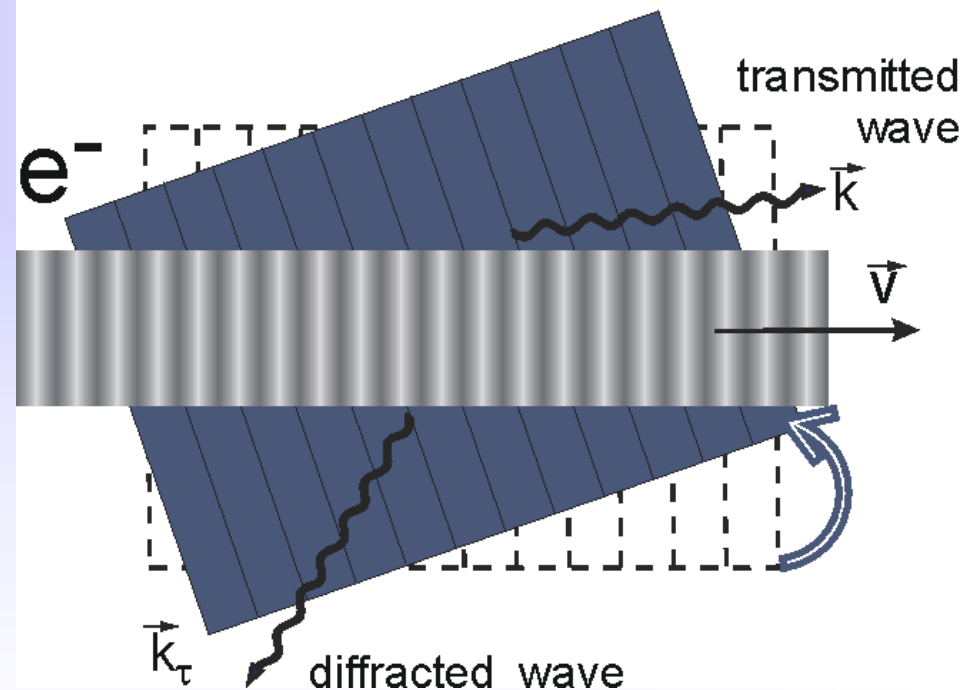
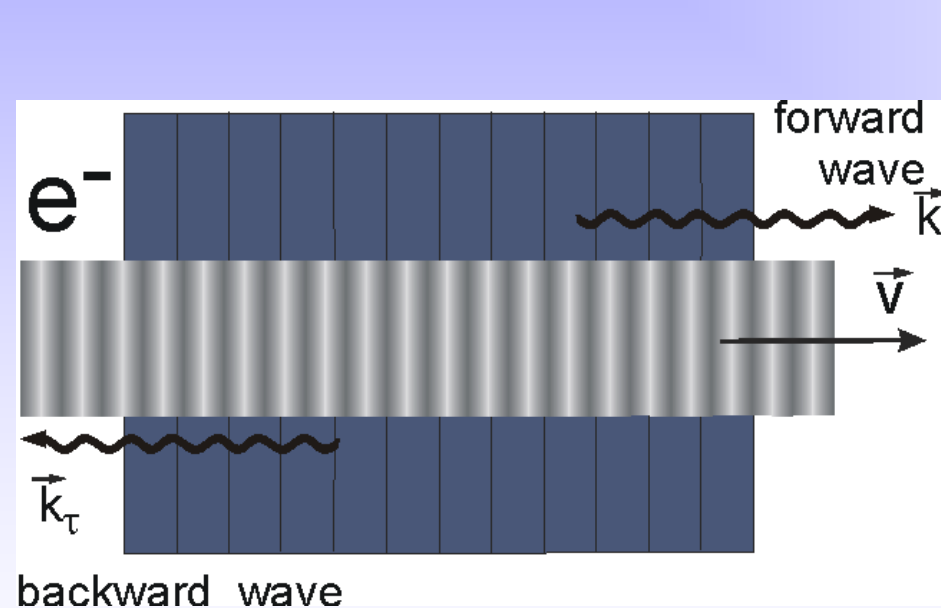


BSU INP

Основная особенность объемного лазера на свободных электронах (ОЛСЭ) -

объемная (неоднородная) многоволновая

распределенная обратная связь в условиях дифракции*

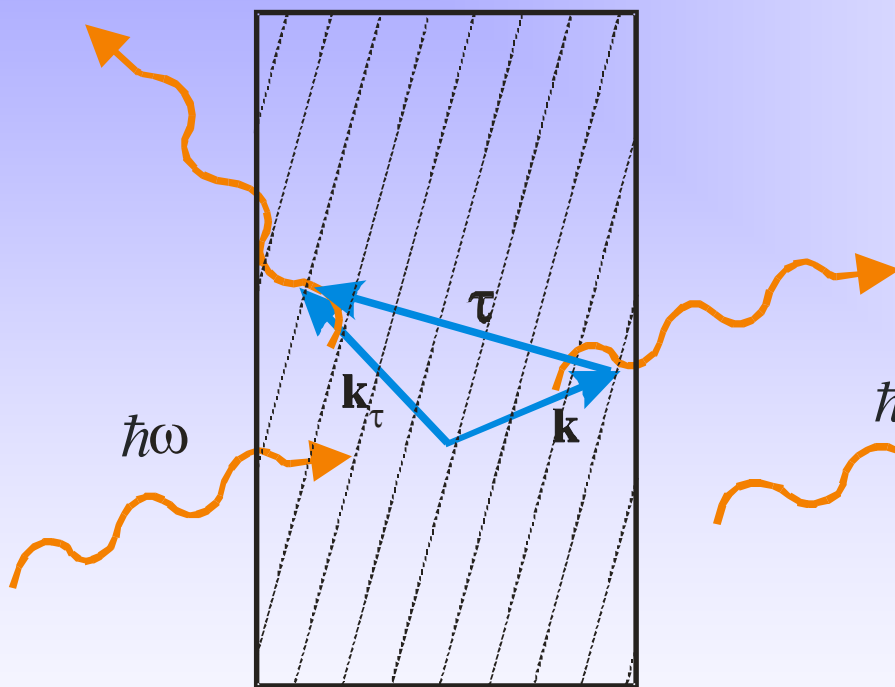


*V.G.Baryshevsky, I.D.Feranchuk, *Phys.Lett.* 102A (1984) 141,

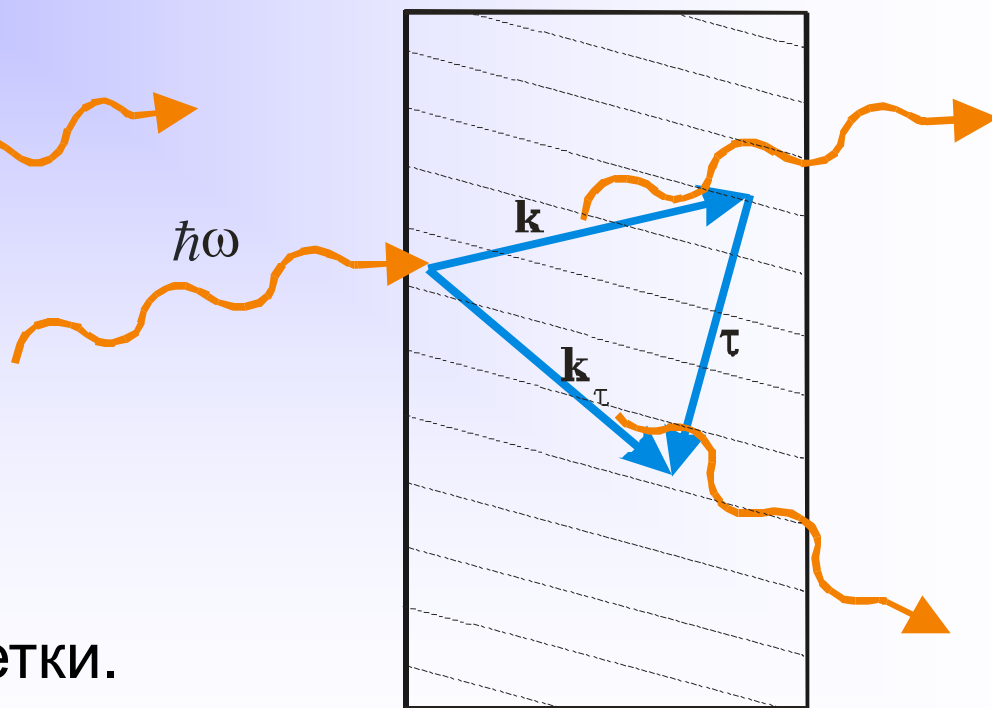
В.Г.Барышевский, ДАН СССР, 299(1988), 1363

Различные геометрии дифракции

Геометрия Брэгга



Геометрия Лауэ

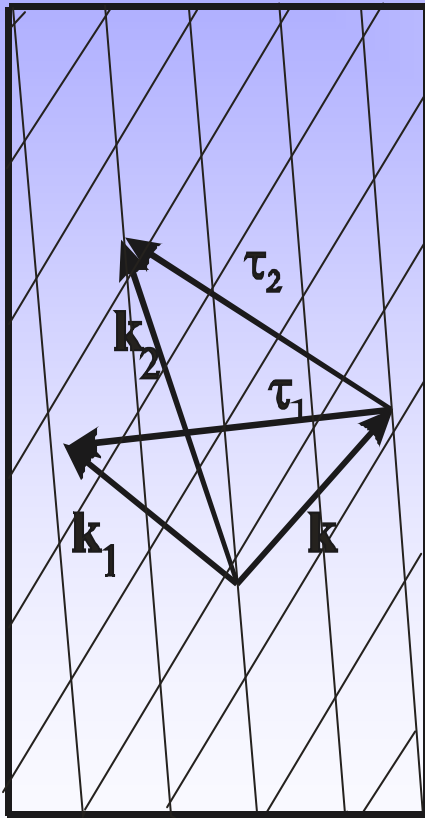


$\boldsymbol{\tau}$ – вектор обратной решетке.

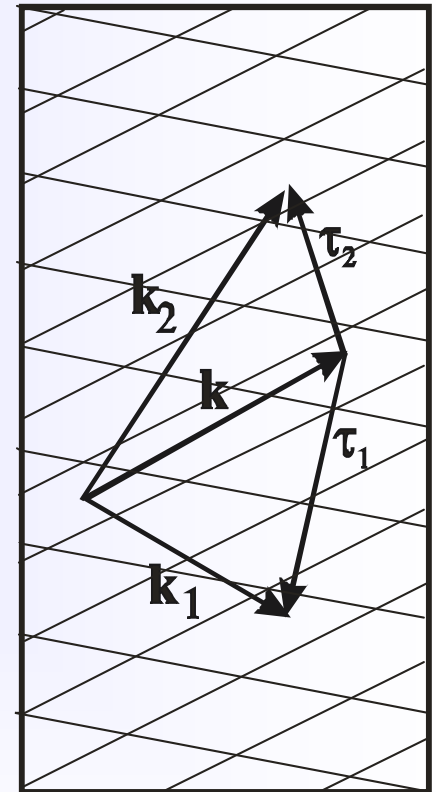
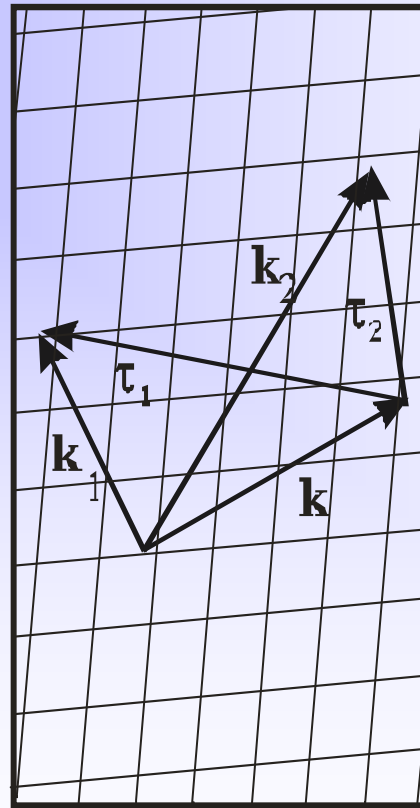
Принципы динамической дифракции справедливы в диапазонах от рентгеновского до терагерцового

Различные геометрии дифракции

Геометрия Брэгг-Брэгг



Геометрия Лауэ-Лауэ



Геометрия Брэгг-Лауэ

Новый закон неустойчивости* электронного пучка, движущегося в пространственно-периодической среде

Инкремент неустойчивости в точках вырождения корней дисперсионного уравнения:

$$G \sim \sqrt[3+s]{\rho}$$

вместо $\sim \sqrt[3]{\rho}$ для других систем (ЛОВ, ЛБВ, ЛСЭ и др.)

Пороговый ток в точках вырождения корней дисперсионного уравнения:

$$j_{start} \sim \frac{1}{(kL)^{3+2s}}$$

вместо $\sim (kL)^{-3}$ для других систем.

s – число дополнительных волн, возникающих в системе вследствие дифракции.

**V.G.Baryshevsky, I.D.Feranchuk, Phys.Lett. 102A (1984) 141,*

В.Г.Барышевский, ДАН СССР, 299(1988), 1363

Новый закон неустойчивости* электронного пучка, движущегося в пространственно-периодической среде

В одномерном случае из неявных выражений¹ для процессов генерации в ЛСЭ с распределенной обратной связью и гофрированным волноводом, можно получить следующее выражение² для порогового тока, которое совпадает с пороговым током для случая ОЛСЭ:

$$-\frac{\pi^2 n^2}{4} (CL')^3 f(y) = \frac{2\pi^2 n^2}{(\sigma L')^2}$$

где $L' = \frac{\omega}{c} L$, $C \sim I^{1/3}$ - обобщенный параметр Пирса.

¹В.Л.Братман, Н.С.Гинзбург, Г.Г.Денисов, Письма ЖТФ 7, вып. 21 (1981), 1320–1324.

²V.G.Baryshevsky "High Power Microwave and Optical Volume Free Electron Lasers (VFELs)", 2012, arXiv:1211.4769

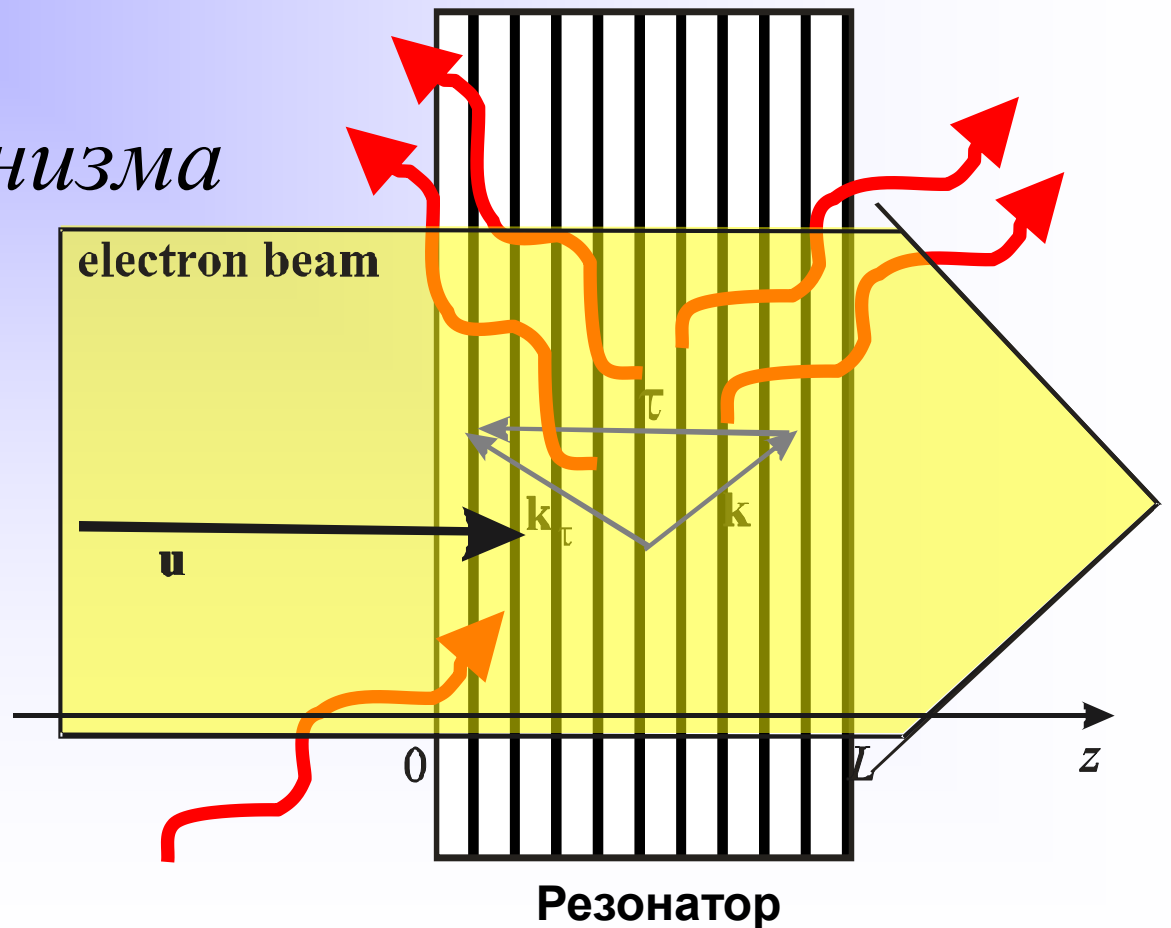
Основные принципы ОЛСЭ:

Условия дифракции

$$2\mathbf{k}\boldsymbol{\tau} + \boldsymbol{\tau}^2 \approx 0$$

Условия синхронизма

$$|\omega - \mathbf{k}\mathbf{u}| = \delta\omega$$



Система для двухволнового ОЛСЭ

$$\frac{\partial E}{\partial t} + \gamma_0 c \frac{\partial E}{\partial z} + 0.5i\omega l E - 0.5i\omega \chi_\tau E_\tau =$$
$$= 2\pi j\Phi \int_0^{2\pi} \frac{2\pi - p}{8\pi^2} \left(e^{-i\theta(t,z,p)} + e^{-i\theta(t,z,-p)} \right) dp,$$

$$\frac{\partial E_\tau}{\partial t} + \gamma_1 c \frac{\partial E_\tau}{\partial z} - 0.5i\omega \chi_{-\tau} E + 0.5i\omega l_1 E_\tau = 0$$

$$l_i = \frac{k_i^2 c^2 - \omega^2 \varepsilon_0}{\omega^2}, \quad i = 0, 1, \text{ - системные параметры,}$$

$$l = l_0 + \delta, \quad \delta \text{ - отклонение от условия синхронизма,}$$

$$\Phi = \sqrt{l_0 + \chi_0 - 1/(u/c\gamma)^2},$$

$$\gamma_{0,1} \text{ - направляющие косинусы, } \beta = \gamma_0 / \gamma_1 \text{ - фактор асимметрии,}$$

$$\chi_0, \chi_{\pm 1} \text{ - Фурье-компоненты диэлектрической проницаемости среды.}$$

Уравнения для электронного

пучка

$$\frac{\partial^2 \theta(t, z, p)}{\partial z^2} = \frac{e\Phi}{m\gamma^3 \omega^2} \left(k - \frac{\partial \theta(t, z, p)}{\partial z} \right)^3 \operatorname{Re}(E(t - z/u, z)) \times \exp(i\theta(t, z, p)),$$

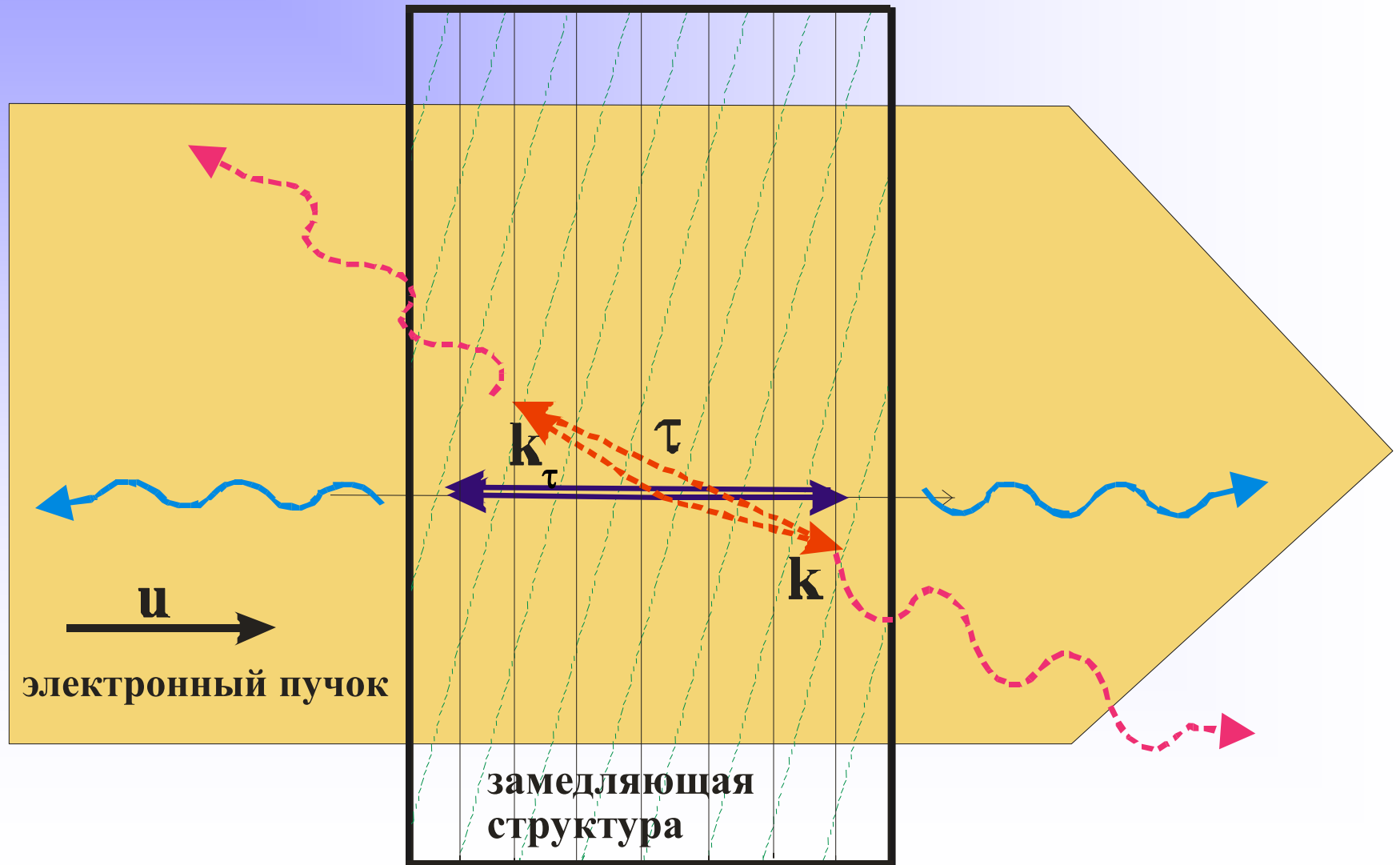
$$\frac{\partial \theta(t, 0, p)}{\partial z} = k - \omega/u, \quad \theta(t, 0, p) = p,$$

$$t > 0, \quad z \in [0, L], \quad p \in [-2\pi, 2\pi]$$

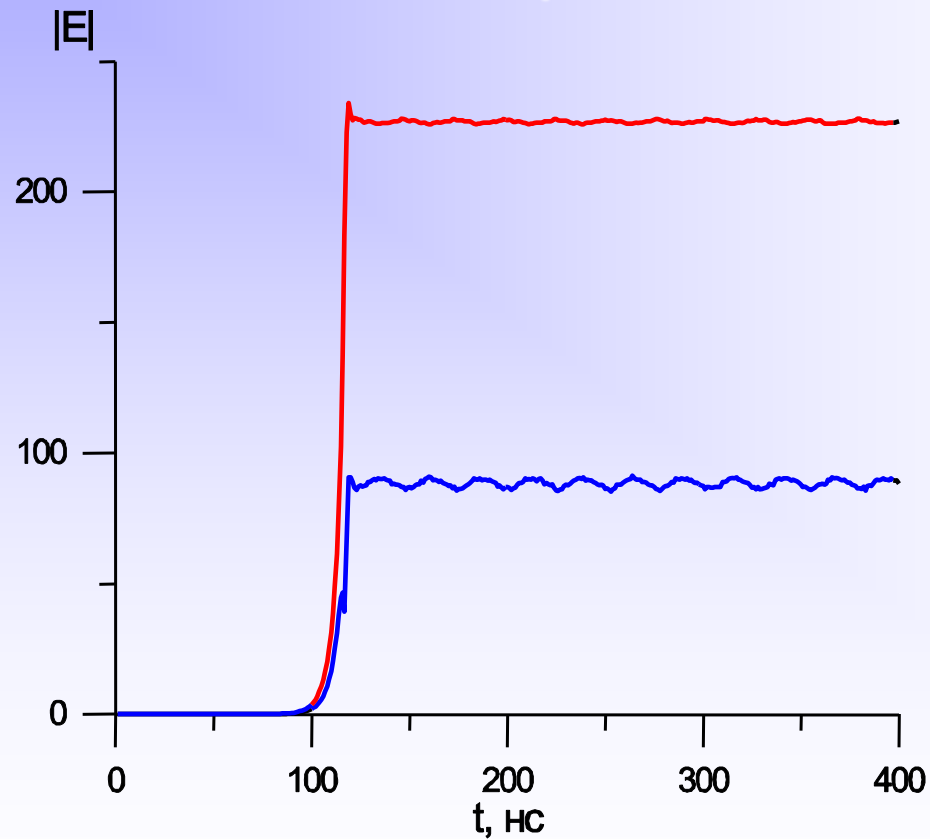
$\theta(t, z, p)$ - фаза электронов пучка по отношению к электромагнитной волне

Использован метод усреднения по фазам влета релятивистских электронов в область взаимодействия (по моменту и по поперечной координате влета электронов в область взаимодействия)

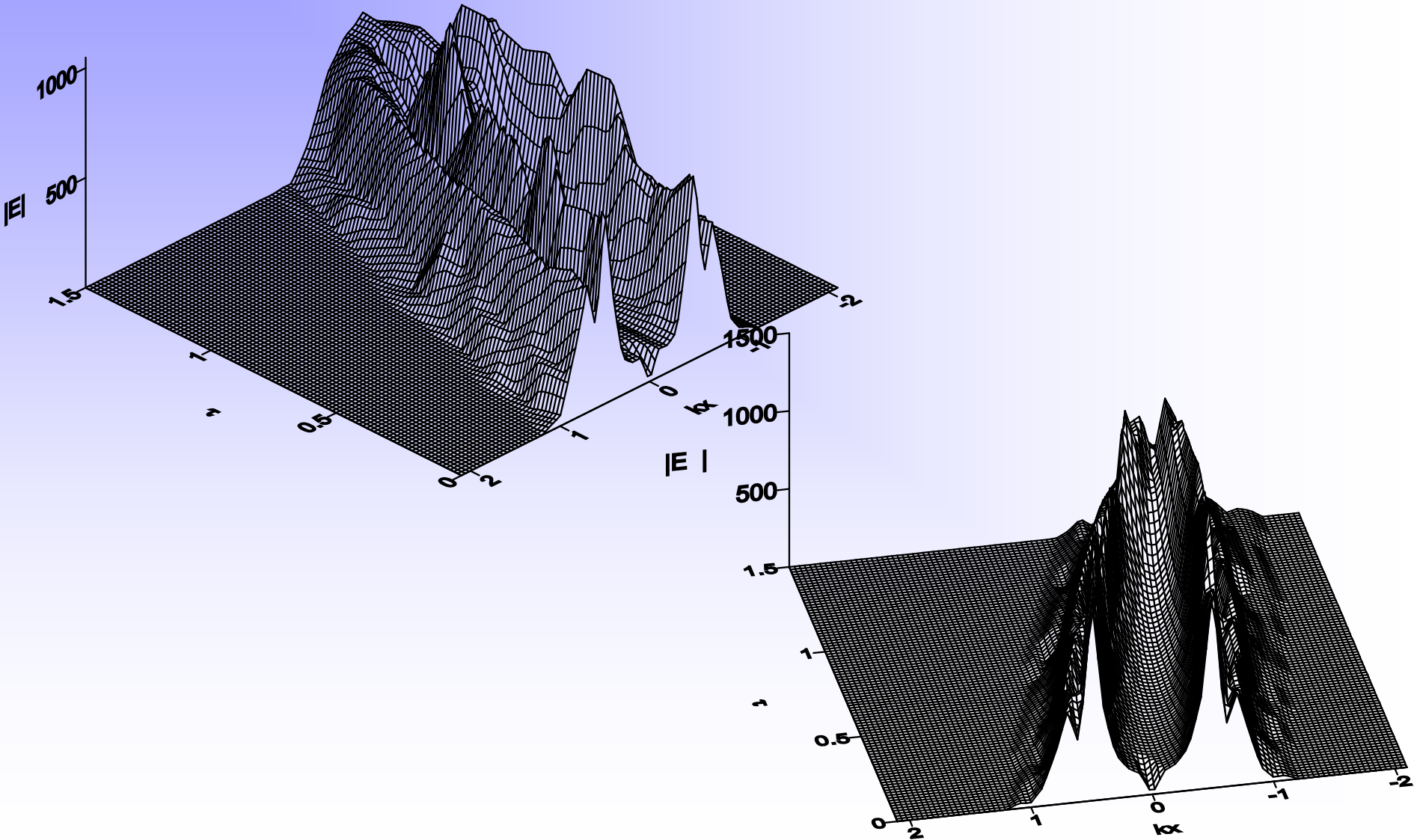
Сравнение одномерной и двумерной РОС



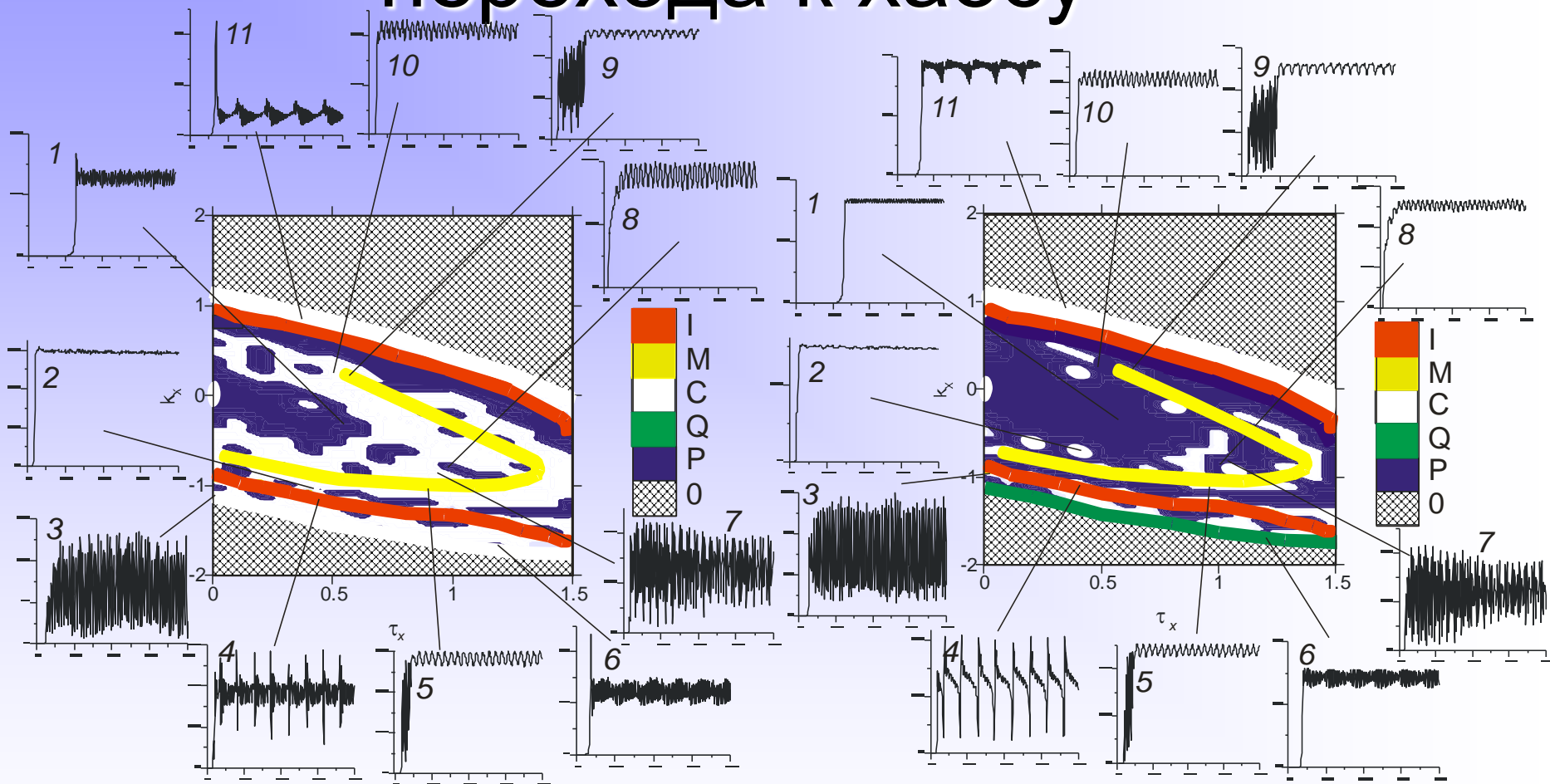
Временная зависимость амплитуд проходящей волны (синяя кривая) и дифрагированной волны (красная кривая) в одномерной геометрии



Зависимость амплитуд от геометрии дифракции

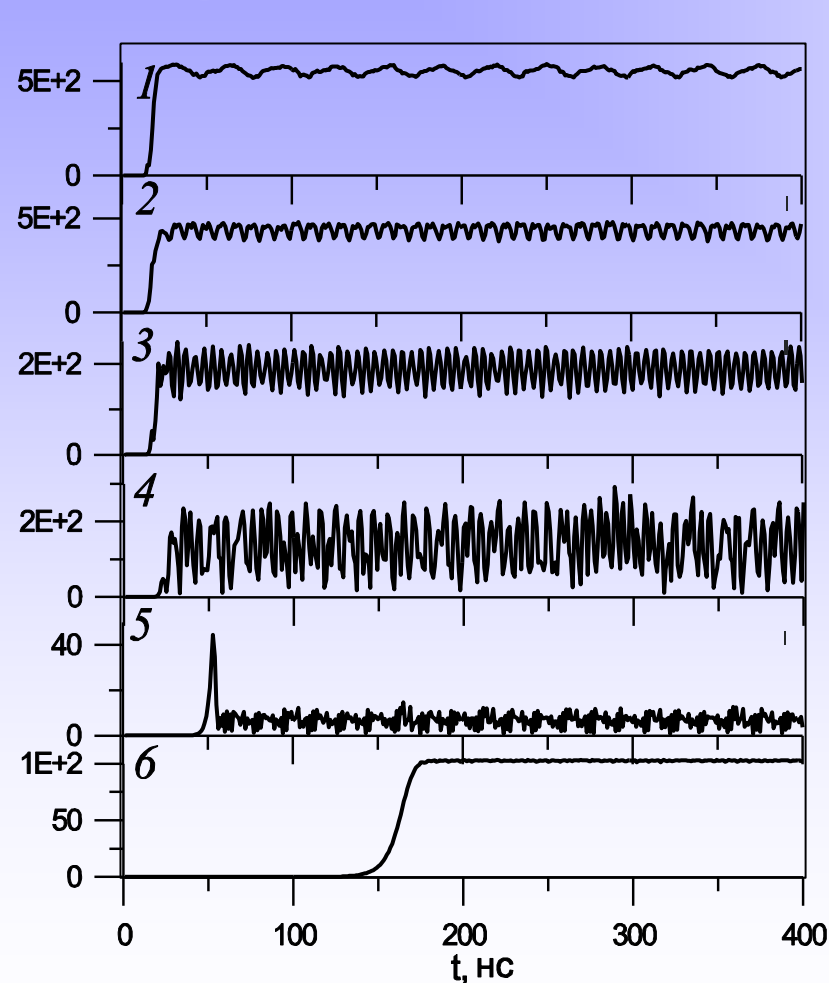


Параметрические карты перехода к хаосу

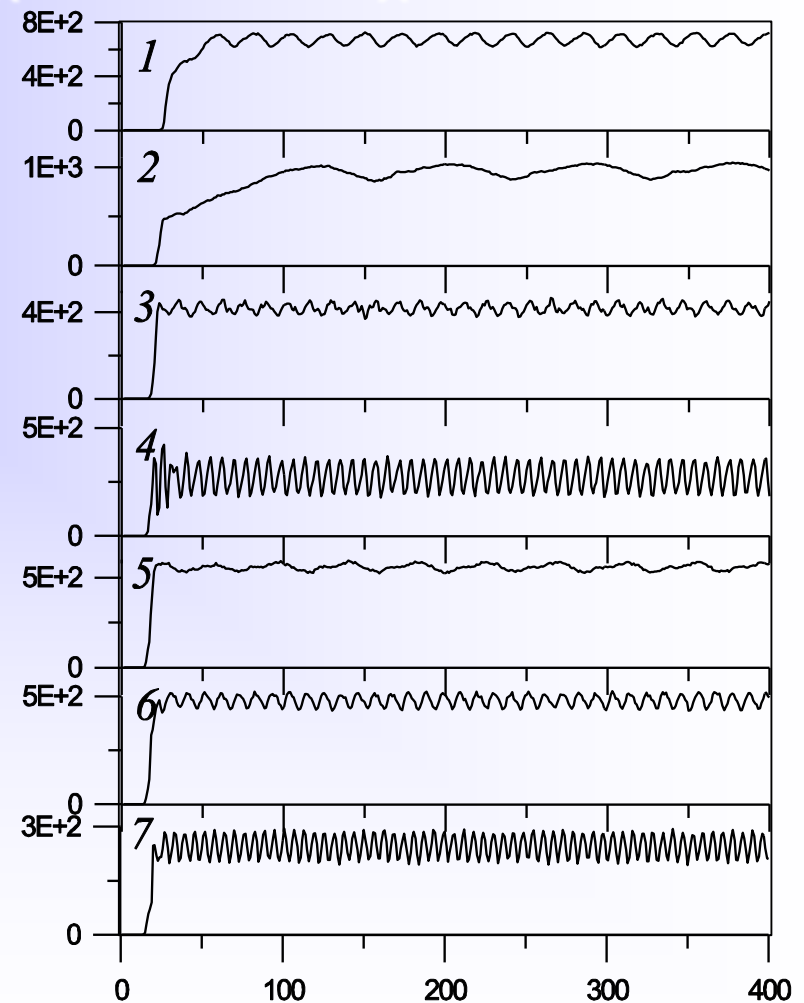


0 означает, что плотность тока находится ниже порога. P – периодические режимы, Q – квазипериодичность, C – хаос, I – перемежаемость, M – переход между высокоамплитудными и низкоамплитудными режимами. По краям приведены зависимости амплитуды $|E(L, t)|$ от времени (в нс)

Переходы между динамическими режимами для $k_x = 0$ и $k_x = -0.5$

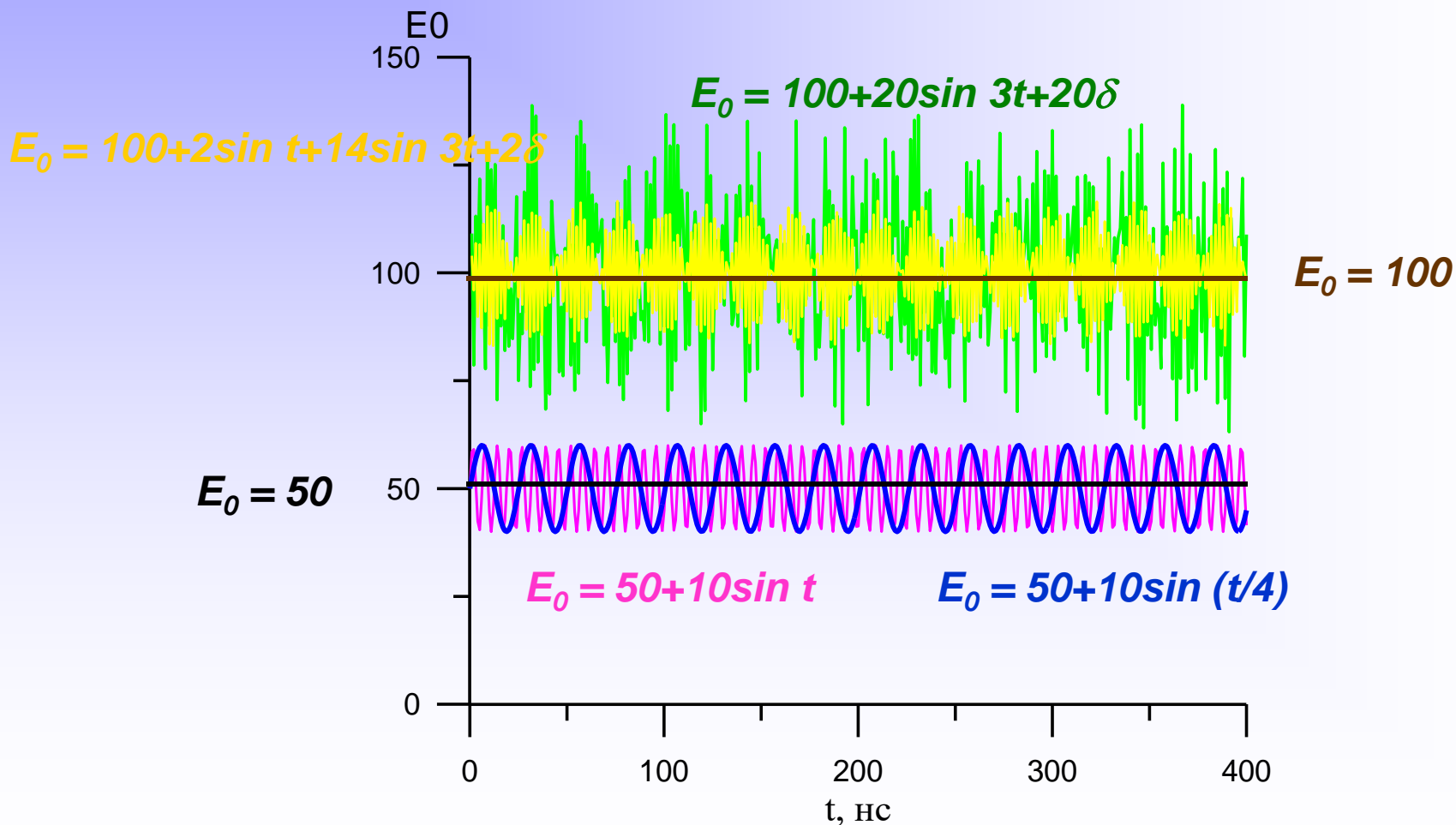


$\tau_x = 0.9$
1.0
1.1
1.2
1.3
1.4
1.5



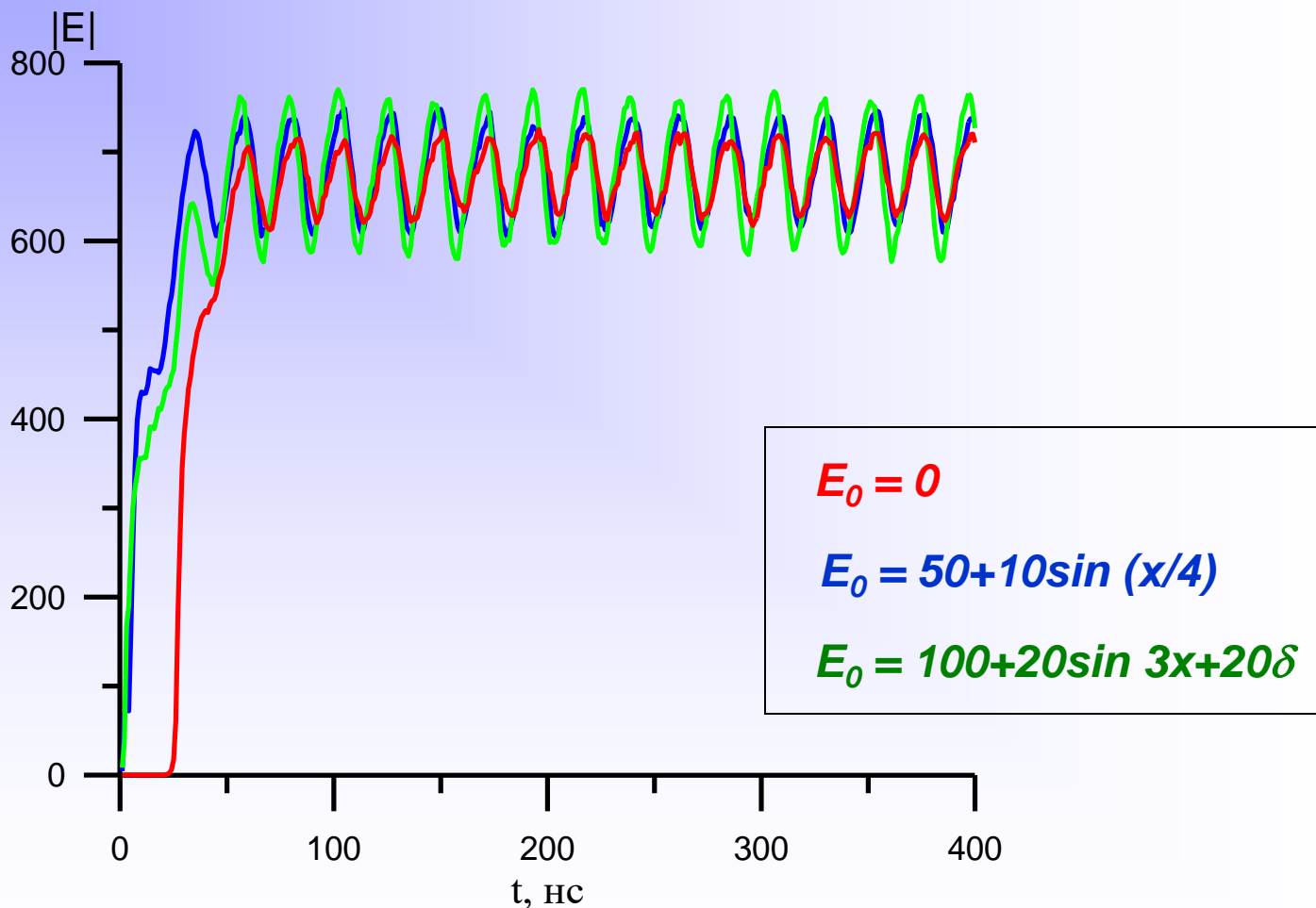
Способ контроля за динамикой ОЛСЭ – изменение геометрии ОРОС

Влияние внешних сигналов на характер решения в ОЛСЭ

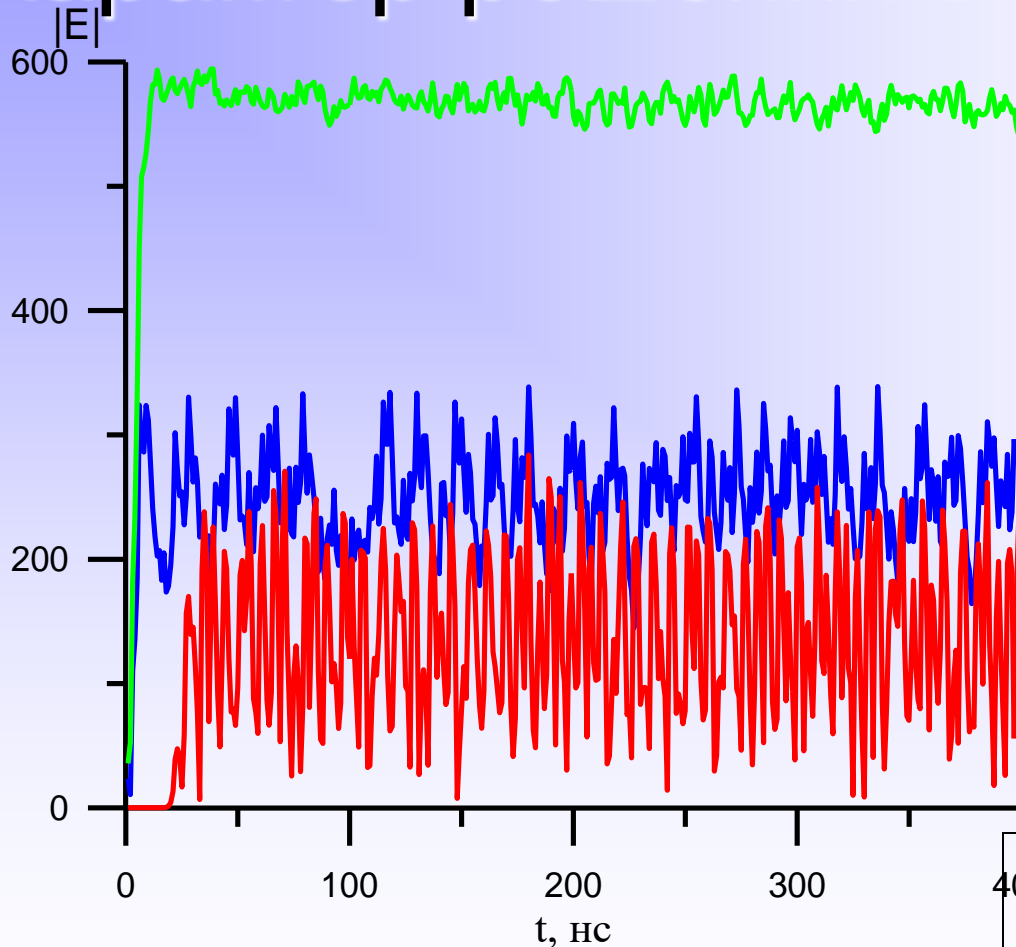


δ – случайное число из интервала $[0,1]$

Влияние внешних сигналов на характер решения в ОЛСЭ



Влияние внешних сигналов на характер решения в ОЛСЭ

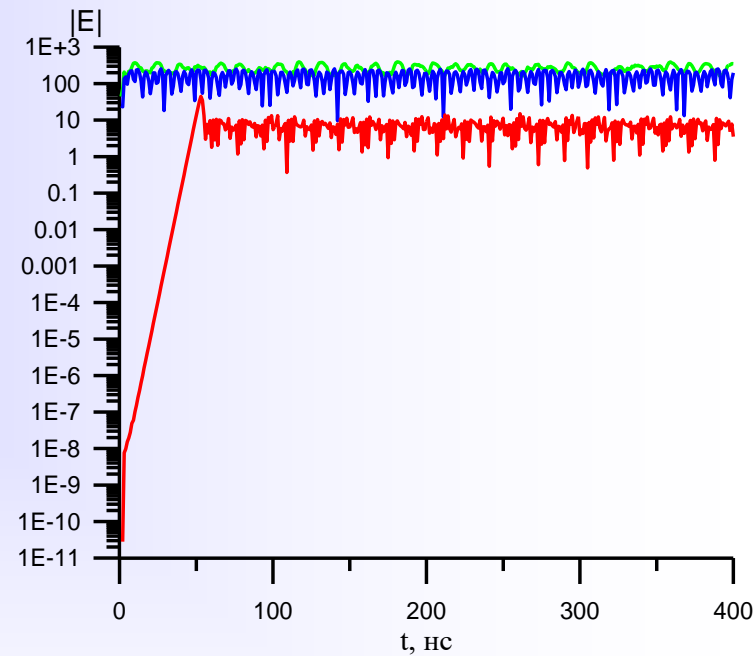
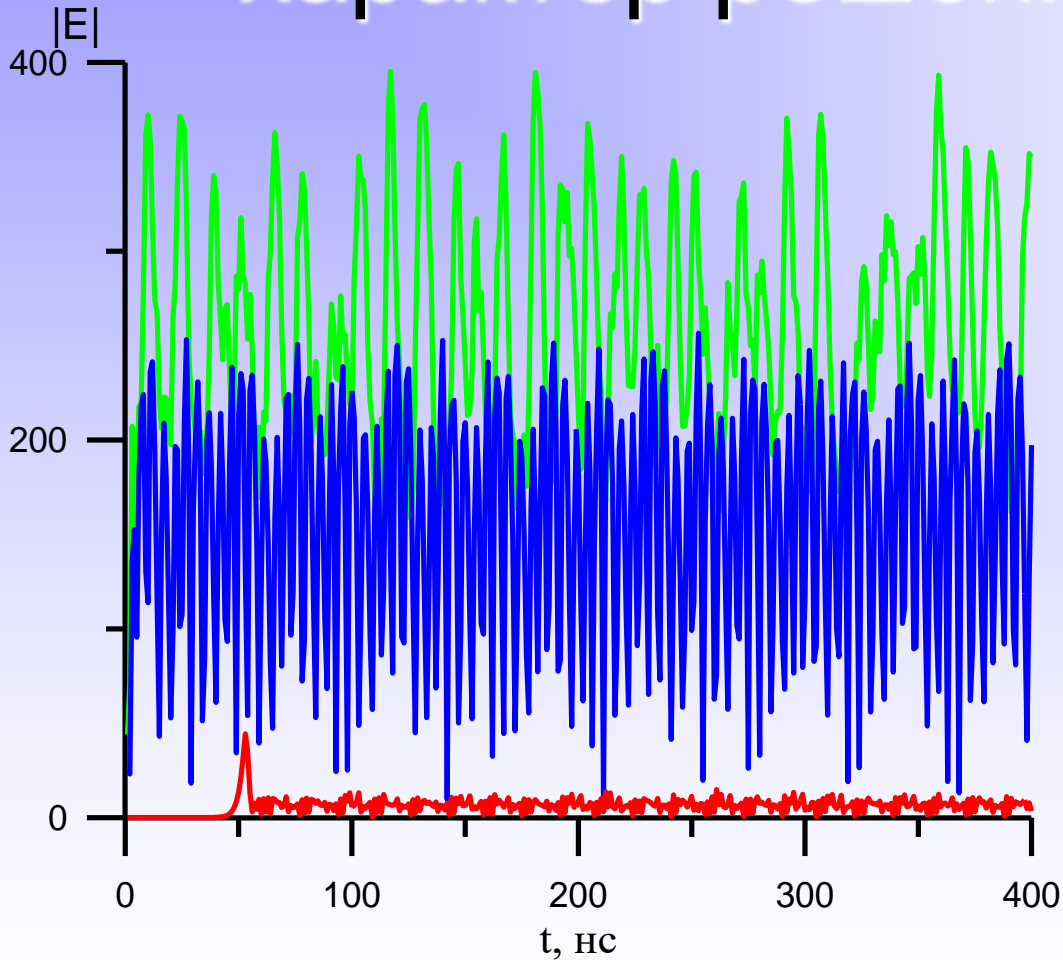


$$E_0 = 0$$

$$E_0 = 50 + 10 \sin(x/4)$$

$$E_0 = 100 + 20 \sin(3x + 20\delta)$$

Влияние внешних сигналов на характер решения в ОЛСЭ



$$E_0 = 0$$

$$E_0 = 50 + 10 \sin(x/4)$$

$$E_0 = 100 + 20 \sin(3x + 20\delta)$$

Выводы

- Изменение геометрии неоднородной дифракции ведет к изменению типа динамического хаотического решения и выбором геометрии ОЛСЭ можно реализовать периодическую динамику вместо хаотической.
- Неоднородная геометрия дифракции представляет сложную картину переходов между различными хаотическими динамическими режимами и позволяет специальным выбором параметров геометрии получить большие значения амплитуд полей при генерации ОЛСЭ по сравнению с одномерной геометрией, а также принципиально другой тип решения.
- Рассмотрено влияние внешних сигналов на характер решения в ОЛСЭ. Показано, что специальным выбором параметров внешних сигналов можно получить большие значения амплитуд полей, а также принципиально другой тип решения. Таким образом показана эффективность использования многосекционных ОЛСЭ.

Спасибо за внимание!

sytova@inp.bsu.by

